

ОБЪЕДИНЕННЫЙ  
ИНСТИТУТ  
ЯДЕРНЫХ  
ИССЛЕДОВАНИЙ  
ДУБНА



СЗЧЗг1

В-486

Р3 - 7245

3585/2-73

П. Винивартер, К. Недведюк, Ю. П. Попов, Р. Ф. Руми,  
В. И. Салацкий, В. И. Фурман

АЛЬФА-РАСПАД НЕЙТРОННЫХ РЕЗОНАНСОВ  
В РЕАКЦИИ  $^{149}\text{Sm} (\text{n}, \alpha) ^{146}\text{Nd}$

**1973**

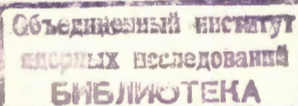
ЛАБОРАТОРИЯ НЕЙТРОННОЙ ФИЗИКИ

Р3 - 7245

П.Винивартер, К.Недведюк, Ю.П.Попов, Р.Ф.Руми,  
В.И.Салацкий, В.И.Фурман

АЛЬФА-РАСПАД НЕЙТРОННЫХ РЕЗОНАНСОВ  
В РЕАКЦИИ  $^{149}\text{Sm} (\text{n}, \alpha) ^{146}\text{Nd}$

Направлено в ЯФ



P3 - 7245

Винивартер П., Недвiedюк К., Попов Ю.П., Руми Р.Ф.,  
Салатский В.И., Фурман В.И.

Альфа-распад нейтронных резонансов в реакции  
 $^{149}\text{Sm}(n, \alpha)^{146}\text{Nd}$

Приводятся значения полных и парциальных  $\alpha$ -ширина нейтронных резонансов ядра  $^{150}\text{Sm}$ , полученных из реакции  $^{149}\text{Sm}(n, \alpha)^{146}\text{Nd}$  в интервале энергии нейтронов  $0,025 \pm 40$  эв. Результаты эксперимента сравниваются с предсказаниями статистической модели  $\alpha$ -распада высоковозбужденных состояний. Дано описание формы резонанса  $E_0 = 0,87$  эв с учетом эффекта Допллера и интерференции между резонансами 0,87 и 0,098 эв.

Препринт Объединенного института ядерных исследований.  
Дубна, 1973

P3 - 7245  
Winiwarter P., Niedzwiedziuk K., Popov Yu.P.,  
Rumi R.F., Salatsky V.I., Furman W.I.

Alpha-Decay of Neutron Resonances in the  
 $^{149}\text{Sm}(n, \alpha)^{146}\text{Nd}$  Reaction

The values of the total and partial  $\alpha$ -widths of the neutron resonances of the  $^{150}\text{Sm}$  nucleus, obtained from the  $^{149}\text{Sm}(n, \alpha)^{146}\text{Nd}$  reaction in the neutron energy range of  $0.025 \pm 40$  eV, are presented. The experimental results are compared with the predictions of the statistical  $\alpha$ -decay model of highly excited states. The form of the  $E_0 = 0.87$  eV resonance is described, taking into account the Doppler effect, as well as the interference between the resonances of 0.87 and 0.098 eV.

Preprint. Joint Institute for Nuclear Research.  
Dubna, 1973

© 1973 Объединенный институт ядерных исследований Дубна

## I. Введение

Настоящая работа является продолжением цикла исследований реакций  $(n, \alpha)$  на редкоземельных элементах в резонансной области нейтронов, которые проводятся в Лаборатории нейтронной физики. Такие исследования позволяют получать новые сведения о резонансных состояниях ядер, необходимые для понимания сложной природы нейтронных резонансов. Кроме получения дополнительных характеристик ядер, исследуя реакцию  $(n, \alpha)$ , в ряде случаев удается получить значения спинов и четности отдельных резонансов.

Бессpinовость, сравнительная "простота"  $\alpha$ -частицы и довольно развитая теория  $\alpha$ -распада позволяют иногда производить более полный анализ экспериментальных данных, полученных в реакции  $(n, \alpha)$ , чем в случае реакции  $(n, \gamma)$ . Но, к сожалению, исследования резонансных реакций  $(n, \alpha)$  на средних и тяжелых ядрах являются трудной экспериментальной задачей из-за очень малых сечений этих реакций и большого выхода  $\gamma$ -лучей в конкурирующих реакциях  $(n, \gamma)$ .

Исследование реакции  $^{149}\text{Sm}(n, \alpha)$  на тепловых нейтронах посвящено много работ [1-9]. Однако их результаты трудно интерпретировать в терминах парциальных  $\alpha$ -ширин индивидуальных состояний, поскольку в тепловое сечение сравнимый вклад дают и резонанс  $E_0 = 0,098$  эв и "отрицательный" уровень /связанное состояние компаунд-ядра  $^{150}\text{Sm}$ / . Кроме того, такие исследования не позволяют проследить флуктуации  $\alpha$ -ширин для различных начальных состояний  $\alpha$ -распада.

Окамото /7/ предпринял попытку разделить вклады от резонанса  $E_0 = 0,098$  эв и отрицательного уровня в тепловой точке, используя разницу в спектрах  $\alpha$ -частиц, полученных на тепловых нейтронах  $/E_n = 0,0253$  эв/ и на нейтронах максвелловского спектра. Однако точность такого анализа ограничена, тем более, что для всех резонансов, кроме отрицательного уровня, Окамото принял значение  $J'' = 4^-$ , что оказалось неверным /см. таблицу 2/.

Полные  $\alpha$ -ширины нейтронных резонансов в реакции  $^{149}Sm(n,\alpha)$  измерялись в работе /10/. Использованная в настоящей работе методика измерения амплитудных спектров  $\alpha$ -частиц позволяет уточнить параметры отрицательного уровня и получить новую информацию о низколежащих нейтронных резонансах составного ядра  $^{150}Sm$ .

## 2. Эксперимент

Измерения проводились на импульсном реакторе ИБР-ЗО, работавшем совместно с линейным ускорителем электронов. Анализ нейтронов по энергии осуществлялся по методу времени пролета с разрешением 0,2 мксек/м. Энергия  $\alpha$ -частиц из реакции  $^{149}Sm(n,\alpha)$  определялась с помощью двухсекционной ионизационной камеры с сеткой по методике, слегка модифицированной по сравнению с описанной в /11/. Ионизационная камера окружалась кадмием для защиты от нейтронов, термализовавшихся в помещениях. Помимо этого в спектрометрический тракт электроники была введена специальная компенсация амплитудной перегрузки в момент импульса мощности реактора.

Были сделаны три серии измерений. Условия измерений в отдельных сериях приведены в таблице 1. Частота повторения импульсов реактора составляла 100 Гц, поэтому в интересующей нас области энергий нейтронов присутствовали, наряду с нейтронами основного цикла, также медленные нейтроны, оставшиеся от предыдущего цикла /рециклические нейтроны/ с энергией  $0,02 \div 0,006$  эв. Фон  $\alpha$ -частиц от рециклических нейтронов для отдельных

ТАБЛИЦА I  
Условия эксперимента

Минуты	Серия измерений	толщина пластины (см)	площадь (см <sup>2</sup> )	Время измерений (часы)	Фильтры	разрешение энергии нейтронов $\Delta E_\alpha$ (кэВ)	Минуты	Серия измерений	толщина пластины (см)	площадь (см <sup>2</sup> )	Время измерений (часы)	Фильтры	разрешение энергии нейтронов $\Delta E_\alpha$ (кэВ)		
1.	0,12	108	120	180	без фильтра	180	0,025 + 1	1.	0,12	108	108	180	$B_4C(0,05)$	180	0,025 + 1
2.	0,12	108	108	270	$Cd(0,43)$	270	0,5 + 40	2.	0,20	2 x 700	230	270	$Cd(0,43)$	270	0,5 + 40
3.								3.							

ТАБЛИЦА II

Полные и парциальные  $\alpha$ -ширины резонансов  $^{150}\text{Sm}$ , полученные из реакции  $^{149}\text{Sm}(\text{n},\alpha)^{146}\text{Nd}$ 

Статистическая модель									
$E_n$ , эВ	-0,5	0,098	0,87	4,98	6,48	8,93	12,0	14,9	15,8
$J^\pi$	3 <sup>-</sup>	4 <sup>-</sup>	4 <sup>-</sup>	3 <sup>-</sup>	3 <sup>-</sup>	4 <sup>-</sup>	3 <sup>-</sup>	4 <sup>-</sup>	3 <sup>-</sup>
$\Gamma_\alpha \cdot 10^7$	2,8	0,37	0,23	0,25	0,85	0,36	1,9	0,5	≤ 4,8
эВ	±1,3	±0,10	±0,06	±0,07	±0,23	±0,09	±0,5	±0,2	≤ 0,75
$\Gamma_{\alpha_0} \cdot 10^7$	1,3								
эВ	±0,5								
$\Gamma_{\alpha_1} \cdot 10^7$	1,5	0,36	0,10						
эВ	±0,7	±0,09	±0,03						
$\Gamma_{\alpha_2} \cdot 10^7$		0,09							
		±0,03							
$\Gamma_{\alpha_3} \cdot 10^7$		0,04							
		±0,02							
$\langle \Gamma_\alpha \rangle \cdot 10^7$									
эВ									
$\langle \Gamma_{\alpha_0} \rangle$	3,3								
эВ	±0,3								
$\langle \Gamma_{\alpha_1} \rangle$	2,1								
эВ	±0,2								
$\langle \Gamma_{\alpha_2} \rangle$	0,17								
эВ	±0,02								
$\langle \Gamma_{\alpha_3} \rangle$	0,66								
эВ	±0,07								
$\sum \langle \Gamma_{\alpha_i} \rangle$	6,2								
эВ	±0,6								
$\sum \langle \Gamma_{\alpha_i} \rangle$	0,89								
эВ	±0,09								

резонансов в области  $0,5 \div 40$  эв превышал эффект, что вынудило нас использовать поглощающие фильтры и проводить раздельные измерения в соответствующих условиях для области энергий нейтронов  $0,025 \div 1$  эв /серии 1,2/ и для области  $0,5 \div 40$  эв /серия 3/.

В серии 2 для учета эффекта от рециклических нейтронов проведены измерения с борным фильтром толщиной  $2,1 \cdot 10^{21}$  ат/см $^2$ . Относительный вклад рециклических нейтронов в этом случае был в 5 раз меньше, чем без фильтра /рис. 1/.

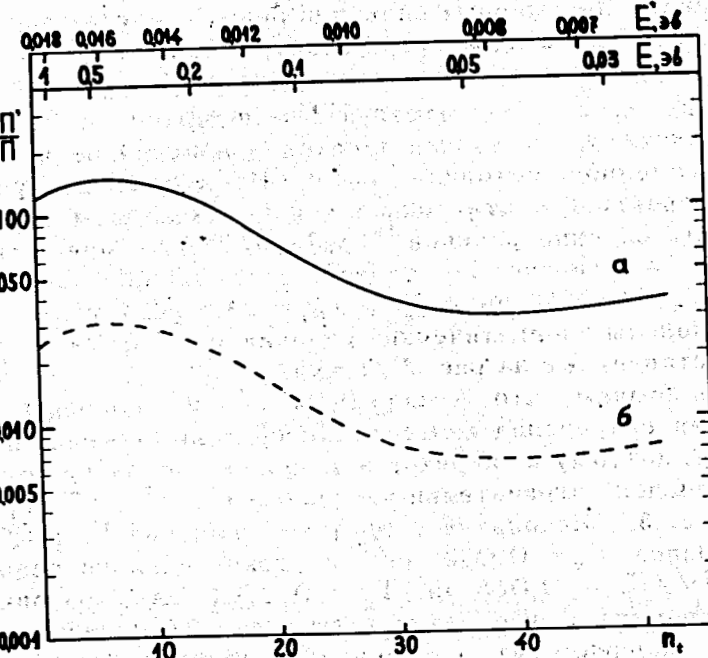


Рис. 1. Относительный вклад рециклических нейтронов в случае измерения: а - без фильтра /серия 1/; б - с борным фильтром /серия 2/.  $\Pi$ ,  $E'$ ,  $\Pi$ ,  $E$  - соответственно поток и энергия рециклических нейтронов и нейтронов основного цикла.

Зависимость потока нейтронов от энергии взята из работы [12]. Контрольные измерения потока нейтронов для конкретных условий нашего эксперимента с помощью борного счетчика хорошо совпадали с данными [12].

### 3. Обработка результатов

а/ Диапазон энергий  $E_n = 0,025 \div 1$  эв. Для этой области энергии нейтронов нашей целью являлось получение парциальных  $\alpha$ -ширин раздельно для резонаанса  $E_0 = 0,098$  эв и для отрицательного уровня, а также определение энергии отрицательного уровня. Из измеренных двухмерных спектров время пролета - амплитуда получён амплитудный спектр в окне  $0,11 \div 0,065$  эв /рис. 2/. Используя этот спектр, мы выбрали два амплитудных окна, соответствующих переходу в основное состояние ( $a_0$ ) и сумме переходов в основное и первое возбужденное состояния ( $a_0 + a_1$ ). Из полученных временных спектров в этих окнах с использованием значения суммы сечений реакции  $^{149}Sm(n, \alpha)^{146}Nd$  при  $\alpha$ -переходах в основное и первое возбужденное состояния при  $E_n = 0,0253$  эв / $\sigma_{a_0} + \sigma_{a_1} = 28,5 \pm 3,7$  мбарн/ из [7], определены энергетические сечения  $\sigma_a (3^- \rightarrow 0^+)$  и  $\sigma_a (3^- \rightarrow 2^+)$ , представленные на рис. 3 /точки/.

Напомним, что  $\alpha$ -переходы  $4^- \rightarrow 0^+$  запрещены законами сохранения момента количества движения и четности, поэтому  $\alpha$ -переход в основное состояние целиком обусловлен отрицательным уровнем с  $J^\pi = 3^-$  /кружки на рис. 3/. Используя известные значения  $\Gamma_y$  и  $\Gamma_n^o$  для резонаанса  $E_0 = 0,098$  эв [13] и отрицательного резонаанса [14] / $\Gamma_y = 0,066$  эв,  $\Gamma_n^o = 0,0070$  эв/, мы описали экспериментальные результаты /рис. 3/, варьируя значения парциальных  $\alpha$ -ширин для обоих распадающихся состояний и энергию отрицательного уровня. В итоге получилось значение  $E = -(0,5 \pm 0,7)$  эв, что совпадает с результатом [14]. Значения парциальных  $\alpha$ -ширин ( $\Gamma_{a_1}$ ) для обоих резонансов приведены в таблице 2. В описании экспериментальных результатов формулой Брейта-Вигнера можно пренебречь влиянием эффекта Доплера и ко-

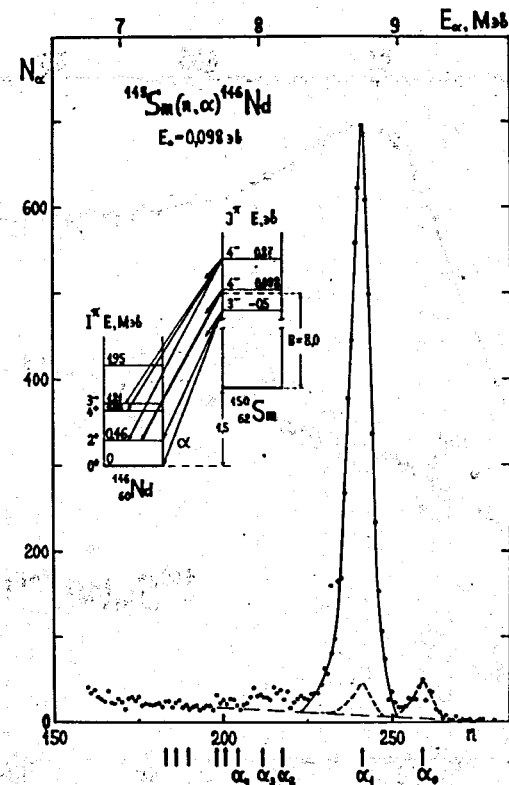


Рис. 2. Амплитудный спектр  $\alpha$ -частиц для нейтронов с энергиями  $0,11 \div 0,065$  эв /резонанс  $E_0 = 0,098$  эв/. Пунктиром отмечен вклад отрицательного резонаанса  $E_0 = -0,5$  эв. Пунктирная прямая - экстраполяция фона в область больших энергий  $\alpha$ -частиц.

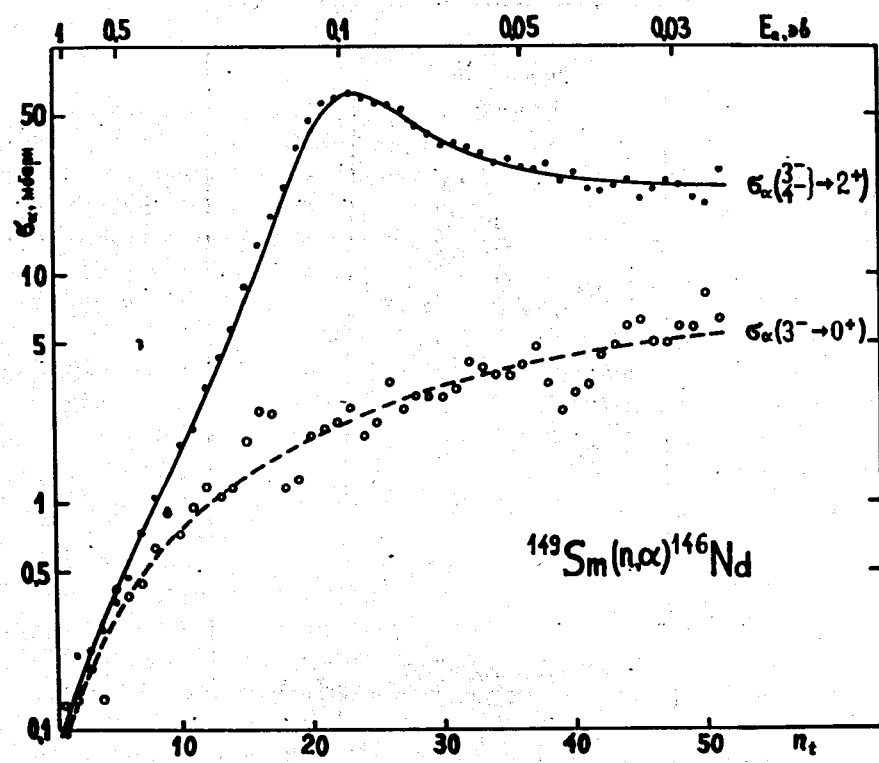


Рис. 3. Зависимость парциальных сечений реакции  $^{149}\text{Sm}(n, \alpha)$  от энергии нейтронов: точки - экспериментальные результаты; кривые рассчитаны по параметрам резонансов 0,098 и -0,5 эв, приведенным в таблице 2.

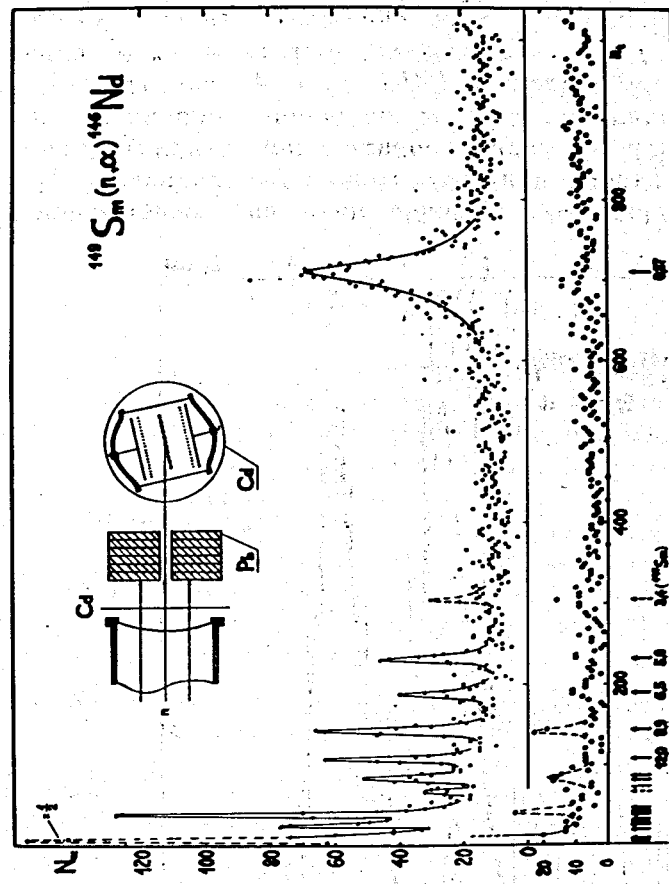


Рис. 4. Временной спектр  $\alpha$ -частич в полном амплитудном окне /верхняя кривая/ и в окне  $\alpha_0$ /нижняя кривая/. Вставка - схема установки ионизационной камеры на пучке нейтронов.

нечностью временного разрешения спектрометра, поскольку  $\Gamma/\Delta$  и  $\Gamma/R \gg 1$  для резонанса  $E_0 = 0,098$  эв /здесь  $\Delta$  - допплеровская ширина, а  $R$  - полуширина функции разрешения спектрометра по времени пролета/.

б) Диапазон энергий  $E_d = 0,5 \div 40$  эв. В результате измерения был получен временной спектр реакции  $^{149}\text{Sm}(n, \alpha)$  в полном амплитудном окне /рис. 4 - верхний спектр/ и в окне  $a_0$  для  $\alpha$ -частиц, соответствующих  $\alpha$ -переходу в основное состояние  $^{146}\text{Nd}$  /рис. 4 - спектр внизу/. Из всех резонансов в этом диапазоне энергий амплитудный спектр с удовлетворительной статистической точностью удалось получить только для резонанса  $E_0 = 0,873$  эв /рис. 5/. Наличие пика на нижней кривой

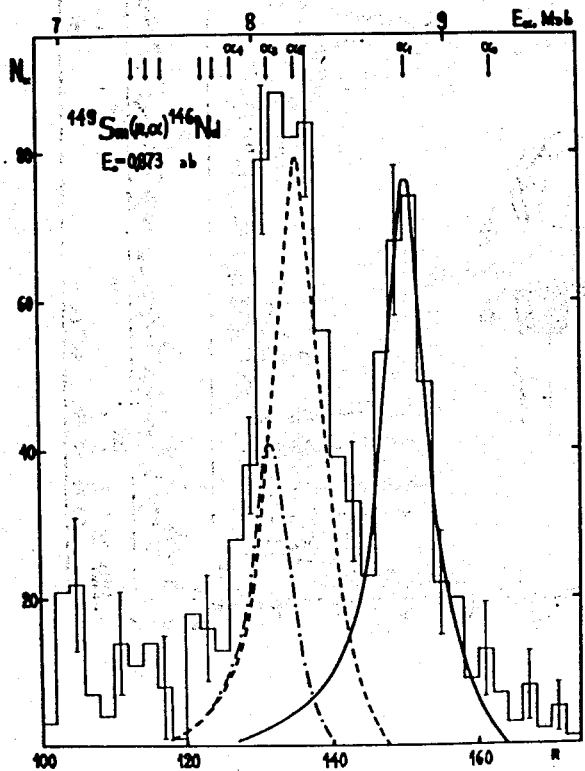


Рис. 5. Амплитудный спектр  $\alpha$ -частиц из резонанса  $E_0 = 0,873$  эв с выделенными пиками групп  $\alpha_1$ ,  $\alpha_2$  и  $\alpha_3$ .

рис. 4 однозначно указывает на то, что спин и четность резонанса  $E_0 = 8,9$  эв  $J^\pi = 3^-$ .

Результаты вычисления /см. приложение/ полных и парциальных  $\alpha$ -ширин представлены в таблице 2. Систематическое расхождение в значениях полученных нами полных  $\alpha$ -ширин с результатами /10/ на  $\approx 40\%$  связано с различием в опорных сечениях, использованных при нормировке. В /10/ нормировка производилась по среднему сечению  $\langle\sigma(n, \alpha)\rangle$  для максвелловского распределения потока нейтронов, отождествленному в /5/ тепловым сечением. Однако, как показано в /7/ для  $^{149}\text{Sm}$   $\langle\sigma(n, \alpha)\rangle$  отличается от сечения в тепловой точке на  $\approx 40\%$ .

#### 4. Обсуждение результатов

Интересно сравнить полученные в настоящей работе парциальные и полные  $\alpha$ -ширины с оценками средних значений, вычисленных по статистической модели. В таблице 2 приведены экспериментальные значения ширин и соответствующие средние величины, рассчитанные ранее в /15/. Видно, что теоретические ширины, как правило, несколько превышают экспериментальные. Однако с учетом плохой статистики усреднения по резонансам согласие следует признать удовлетворительным. Тем не менее, регулярная разница между экспериментальными и теоретическими ширинами может иметь физическую причину. Дело в том, что последние получены без учета возможной деформации компаунд-ядра. Однако  $^{150}\text{Sm}$  в основном состоянии имеет заметную деформацию  $\beta = 0,19$  /16/, тогда как дочернее ядро  $^{146}\text{Nd}$  является практически сферическим / $\beta = 0,08$  /16/. Таким образом, если деформация в сильно возбужденных состояниях  $^{150}\text{Sm}$  близка или больше соответствующей величины в основном состоянии, то для  $\alpha$ -распада составных состояний  $^{150}\text{Sm}$  может возникнуть дополнительный запрет по отношению к оценкам, проведенным без учета деформации.

В принципе возникает интересная возможность получить сведения о влиянии различия деформаций мате-

ринского и дочернего ядер на скорость  $\alpha$ -распада путем изучения реакции ( $n, \alpha$ ) на ядрах переходной области. Однако это требует повышения точности измерения средних значений  $\alpha$ -ширии и дополнительного анализа вклада таких процессов, как сверхтекущесть ядра и др.

Сравнительно близкое расположение двух резонансов с одинаковым спином и четностью  $J^\pi = 4^-$  для  $E_0 = 0,098$  эв и  $0,87$  эв позволяет ожидать появления интерференционных эффектов в сечении реакции ( $n, \alpha$ ), особенно в случае выделения парциального канала. На рис. 6 представлен выход реакции  $^{149}\text{Sm} (n, \alpha_1)$  в окрест-

ности резонанса  $0,87$  эв. Теоретическая форма резонанса с учетом допплеровского уширения и вкладов резонансов  $E_0 = 0,098$  эв и  $E_0 = 0,87$  эв показана сплошной кривой. Учет интерференции /пунктирная линия/ дает столь малый вклад, что при существующей точности эксперимента о ее обнаружении говорить нельзя. Искажение формы резонанса за счет захвата нейтронов, рассеянных алюминиевой подложкой, пренебрежимо мало.

## ПРИЛОЖЕНИЕ

### Определение полных $\alpha$ -ширии высоковозбужденных состояний $^{150}\text{Sm}$

Полные  $\alpha$ -ширины ( $\Gamma_\alpha$ ) определены по формуле:

$$(\Gamma_\alpha)_i = e^{n(\sigma_i - \sigma_0)} \cdot \frac{A_0}{A_i} \cdot \frac{\Phi_0}{\Phi_i} \cdot \frac{\Gamma_i}{\Gamma_0} \cdot \frac{N_i}{N_0} \cdot (\Gamma_\alpha)_0,$$

где  $(\Gamma_\alpha)_0$  - калибровочная ширина для резонанса  $E_0 = 0,873$  эв - взята из /10/ и уменьшена на  $\approx 40\%$  в связи с изменением опорного сечения в тепловой области нейтронов /см. выше/. Индексы "0" и "i" - обозначают калибровочный и данный резонансы,  $e^{n(\sigma_i - \sigma_0)}$  - коэффициент, учитывающий поглощение нейтронов в кадмииевом фильтре / $n$  - число атомов кадмия на  $\text{cm}^2$ ;  $\sigma_i$  и  $\sigma_0$  - сечение поглощения нейтронов в кадмии/,  $A_0/A_i$  и  $\Gamma_i/\Gamma_0$  - отношения площадей под кривой пропускания нейтронов и полных ширин /вычислены по данным, взятым из работ /13, 17/,  $\Phi_0/\Phi_i$  - отношение потоков нейтронов, вычисленных по кривой из работы /12/,  $N_i/N_0$  - отношение счета  $\alpha$ -частиц в резонансах.

При вычислении ошибок  $(\Gamma_\alpha)_i$  не учтена ошибка калибровки. Полученные полные  $\alpha$ -ширины приведены в таблице 2.

## Литература

1. R.D.Macfarlane and I.Almodovar. Phys.Rev., 127, 1665 (1962).
2. E.Cheifetz et al. Phys.Lett., 1, 289 (1962).

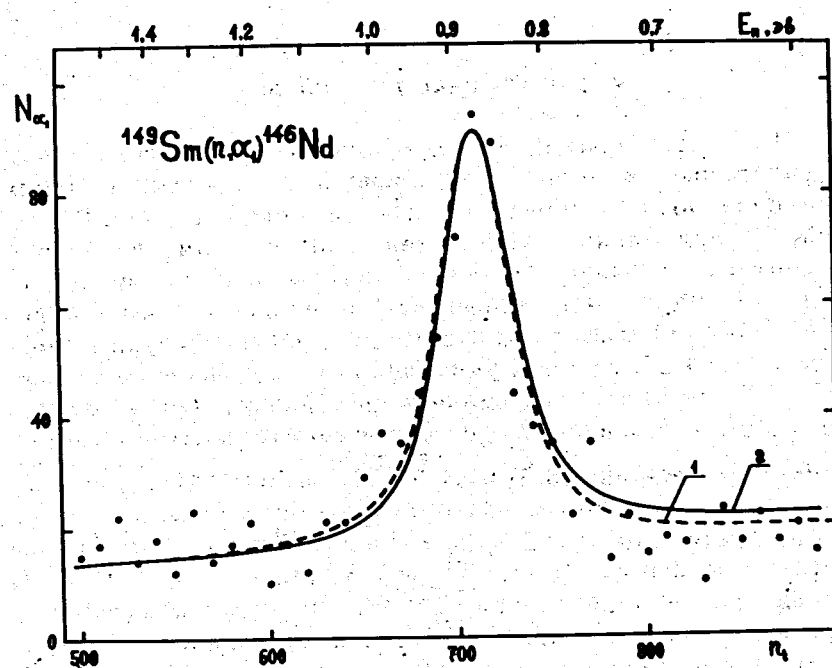


Рис. 6. Временной спектр в амплитудном окне  $a_1$ /точки/. Кривая 1 - описание резонанса  $E_0 = 0,873$  эв с учетом эффекта Доппеля и интерференции между резонансами  $0,87$  и  $0,098$  эв. Кривая 2 - описание с учетом только эффекта Доппеля.

3. В.Н.Андреев, С.М.Сироткин. ЯФ, 1, 252 /1965/.
4. F.Poortmans et al. Nucl.Phys., 82, 331 (1966).
5. N.S.Oakey and R.D.Macfarlane. Phys.Lett., 24B, 142 (1967).
6. M.Dakowski et al. Nucl.Phys., A97, 187 (1967).
7. K.Okamoto. Nucl.Phys., A141, 193 (1970).
8. D.W.Mueller et al. Phys.Lett., 36B, 74 (1971).
9. J.Bischof et al. Czech.Jour.Phys., B22, 9 (1972).
10. I.Kvitek and Yu.P.Popov. Nucl.Phys., A154, 177 (1970).
11. Ю.П.Попов и др. ЯФ, 13, 913 /1971/.
12. В.В.Голиков и др. ОИЯИ, З-5736, Дубна, 1971.
13. Neutron Cross Sections, BNL-325, Second Edition, Suppl. 2, v.IIC (1966).
14. F.Becvar, R.Crien, O.Wasson. BNL-15056 (1970), and Private communication (1972).
15. Ю.П.Попов и др. Nuclear Data for Reactors. V. I, p. 669, IAEA, Vienna, 1970.
16. Nuclear Data, v. I, No. 1, Section A (1965).
17. Э.Н.Каржавина и др. ОИЯИ, РЗ-5655, Дубна, 1971.

Рукопись поступила в издательский отдел  
14 июня 1973 года.